

一种改进的 H^∞ 鲁棒自校正控制¹⁾

张 汉 全

(西南交通大学计算机学院 成都 610031)

摘要

指出英国学者 Grimble 推出的 H^∞ 鲁棒自校正控制不能使系统所有闭环极点配置在预定区域的问题,介绍基于一种 w 变换的、具有预定闭环极点区域的 H^∞ 鲁棒自校正控制的设计方法,并给出了这种改进的 H^∞ 鲁棒控制的频域分析,最后给出了一个例子。

关键词: H^∞ 最优理论,鲁棒自校正控制,预定极点区域,频域分析。

1 引言

由于未建模高频特性与参数估计误差可能使自适应系统失稳,设计具有鲁棒稳定性的自适应控制便成为近年的一个研究热点^[1]。而 H^∞ 最优理论则为设计鲁棒控制器提供了一种有力手段。1987 年——1990 年,英国学者 Grimble^[2] 对 SISO 随机离散系统导出相当简便的 H^∞ 鲁棒控制器的解,进而给出了 H^∞ 鲁棒自校正控制的设计算法。所得自校正控制系统虽有良好的干扰抑制能力与鲁棒稳定性,但却不能使所有闭环极点位于预定区域,因而难以保证具有良好的动态响应性能。文[3,4]分别对连续系统与离散系统给出了具有预定闭环极点区域的 H^∞ 控制器的一般设计思想。

文[5]基于文[3,4]提出的基本思想,利用一种 w 变换,提出了具有预定闭环极点区域的 H^∞ 鲁棒自校正控制设计方法,但没有解决 w 变换以后 H^∞ 最优指标等频域性质将如何变化的问题。本文将在介绍文[5]基础上给出这种改进方法的频域分析,说明这种改进方法不但具有良好的动态响应性能,而且抗干扰性与鲁棒稳定性也能满足要求。

符号说明。

$A(z^{-1})$: z^{-1} 的多项式,简记为 A 。当 A 的所有零点均位于 z 平面单位圆内时,称之为“严格 Hurwitz 的”;当 A 的所有零点均位于单位圆外时,则称之为“严格非 Hurwitz 的”。 $A^*(z^{-1})$: $A(z^{-1})$ 的伴随, $A^*(z^{-1}) = A(z)$, 简记为 A^* 。

H^∞ 空间: 在 z 平面单位圆域外具有解析连续性的有界复函数 $G(z^{-1})$ 所在空间,满足

$$\sup_{r \in (0,1)} \max_{\theta \in [0,2\pi]} |G(re^{j\theta})| = \|G(z^{-1})\|_\infty < \infty,$$

1) 西南交通大学科研基金资助项目。
本文于 1992 年 8 月 3 日收到

式中, $\|G\|_\infty$ 是 $G(z^{-1})$ 的 H^∞ 范数, 在标量情况

$$\|G\|_\infty \triangleq \left\{ \sup_{|z|=1} [G^* G] \right\}^{1/2} = \sup_{|z|=1} |G(z^{-1})|,$$

即 $G(z^{-1})$ 幅频特性的最大值。

2 H^∞ 鲁棒自校正控制存在的问题

设 SISO 离散随机控制系统如图 1 所示, 其中对象与噪声模型用 ARMAX 模型描述, 即

$$Ay(t) = Bu(t) + C_d \varepsilon(t), \quad (2.1)$$

式中 A 为首一多项式; B 包含时延 k , $B = B_k z^{-k}$; $\varepsilon(t)$ 为零均值单位方差白噪声。且设对象 $P = B/A$ 没有不稳定潜模态。 P 可以是不稳定的或非最小相位的。

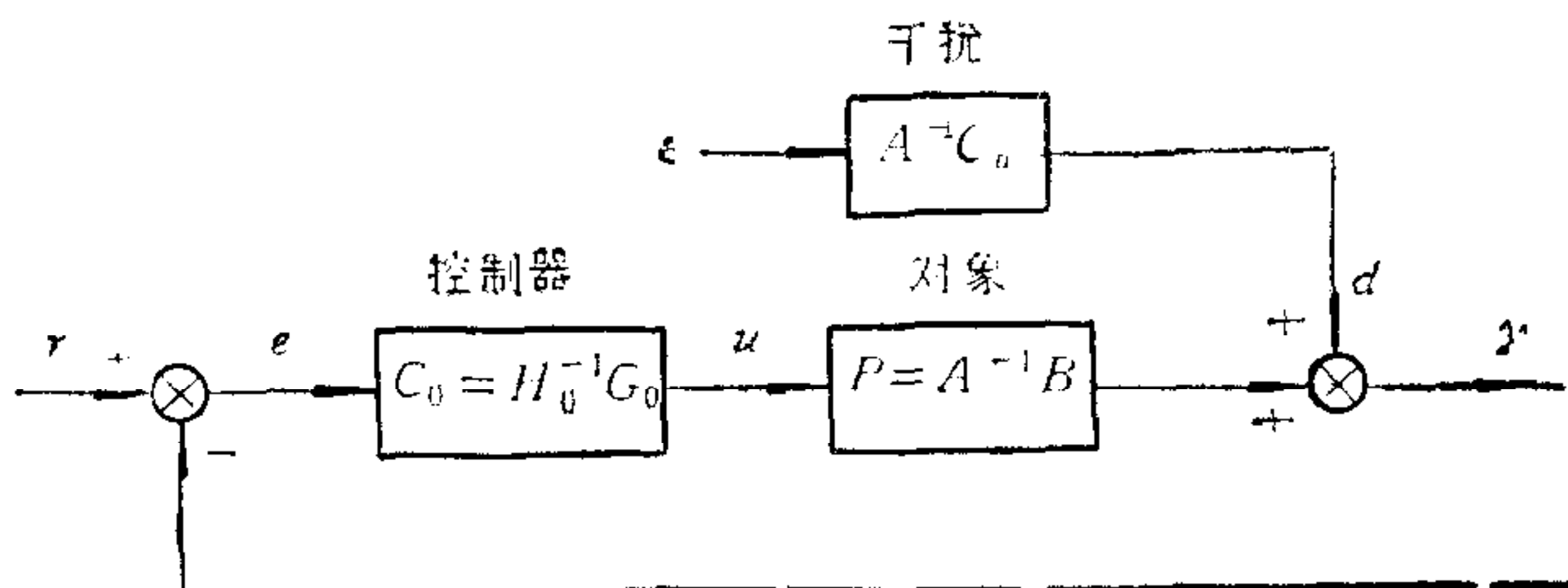


图 1 反馈控制系统

取最优指标为下列 H^∞ 范数:

$$J_\infty = \|\Phi_{\phi\phi}(z^{-1})\|_\infty = \sup_{|z|=1} |\Phi_{\phi\phi}(z^{-1})|, \quad (2.2)$$

式中 $\Phi_{\phi\phi}(z^{-1})$ 是下列加权信号的功率谱密度:

$$\phi(t) = P_c(z^{-1})e(t) + F_c(z^{-1})u(t), \quad (2.3)$$

其中 $e(t)$ 与 $u(t)$ 分别为跟踪误差与控制信号, 而 $P_c(z^{-1})$ 与 $F_c(z^{-1})$ 为具有相同分母多项式的动态权因子

$$P_c(z^{-1}) = P_{cn}/P_{cd}, \quad F_c(z^{-1}) = F_{cn}/P_{cd} = F_{ck}z^{-k}/P_{cd}, \quad (2.4)$$

k 为对象时延。在上述假定条件下, 文[2]给出了以下结论:

引理 1. 对系统(2.1)极小化式(2.2)的 H^∞ 最优控制器 $C_o = G_o/H_o$ 可以用下列两个 diophantine 方程相应于 F_o^- 的最小阶次解 (G_o, H_o, F_o^-) 来计算。

$$F_o^- A P_{cd} \lambda + L_{2k} z^{-k} G_o = P_{cn} D_f F_{os}^-, \quad (2.5)$$

$$F_o^- B_k P_{cd} \lambda - L_{2k} H_o = F_{ck} D_f F_{os}^-, \quad (2.6)$$

式中 $L_k = P_{cn} B_k - F_{ck} A = L_{1k} L_{2k}$, $[L_{1k}]$ 为严格 Hurwitz 的, $[L_{2k}, F_o^-]$ 为严格非 Hurwitz 的, $n_f = \deg F_o^- = \deg L_{2k} + k - 1$, $F_{os}^- = (F_o^-)^* z^{-n_f}$; D_f 为 $C_d C_d^*$ 的谱因子, 是严格 Hurwitz 的, 满足 $D_f D_f^* = C_d C_d^*$ 。系统闭环特征多项式为

$$G_o B + H_o A = L_{1k} D_f F_{os}^-,$$

而极小化指标为 $J_\infty = \|\Phi_{\phi\phi}(z^{-1})\|_\infty = \lambda^2$, 且 $\Phi_{\phi\phi}(z^{-1})$ 在 $|z|=1$ 上是常数。

文[2]还利用功率谱传递定理将最优指标(2.2)用灵敏度 S 与控制灵敏度 U 表达为

$$J_{\infty} = \sup_{|z|=1} |\Phi_{\phi\phi}(z^{-1})| = \sup_{|z|=1} |V|, \quad (2.7)$$

$$V = (P_c S + F_c U) \Phi_o (P_c S + F_c U)^*, \quad (2.8)$$

其中 $\Phi_o = (AA^*)^{-1} C_d C_d^*$; $S = (1 + PC_o)^{-1}$; $U = (1 + PC_o)^{-1} C_o$ 。于是，通过适当选择函数 P_c 和 F_c ，可以使灵敏度和控制灵敏度在各自选定的频率范围内足够小，从而达到所需的干扰抑制能力与鲁棒稳定性。因此基于这种控制器的自校正控制被称为 H^∞ 鲁棒自校正控制。

但是，上述 H^∞ 鲁棒自校正控制系统的动态性能却不能保证。这是因为闭环系统特征多项式 $L_{1k} D_f F_{o,s}^-$ 中，尽管 L_{1k} 的零点可以通过选择权因子 P_c, F_c 来配置，但 P_c, F_c 的选择要受到所需灵敏度与控制灵敏度指标的制约；而 $F_{o,s}^-$ 取决于方程 (2.5), (2.6) 的解，难以任意改变； D_f 的零点则取决于噪声模型的分子多项式 C_d ，也不能随意配置。当 $L_{1k} D_f F_{o,s}^-$ 的零点接近单位圆时，系统的瞬态响应衰减太慢，其它动态性能指标也会很差。例如，文[2]的油船模型中 $C_d = 0.03(1 - 0.7782z^{-1})(1 - 1.021z^{-1})$ ，故 D_f 的一个因子是 $(1 - 0.979z^{-1})$ ， D_f 的一个零点 (0.979) 就是紧靠 z 平面单位圆周的。

因此，有必要研究一种新的设计方法，使 H^∞ 自校正控制系统不但具有良好的干扰抑制能力和鲁棒稳定性，而且使其闭环极点位于预定区域。

3 一种改进的 H^∞ 鲁棒自校正控制设计方法

本节将基于 w 变换，介绍一种改进的 H^∞ 鲁棒自校正控制的设计方法和一个有关定理^[4]。

3.1 一种 w 变换的性质

下面，不加证明地给出一种 w 变换的几个性质。

引理 2. 设 $\sigma T > 0$ ，则 w 变换

$$w = e^{\sigma T} z, \quad (3.1)$$

将集合 $\{z \in C \mid |z| < e^{-\sigma T}\}$ 变换为集合 $\{w \in C \mid |w| < 1\}$ 。

可见，这种 w 变换将 z 平面上半径小于 1 的圆域变换为 w 平面上的单位圆域，如图 2 所示。

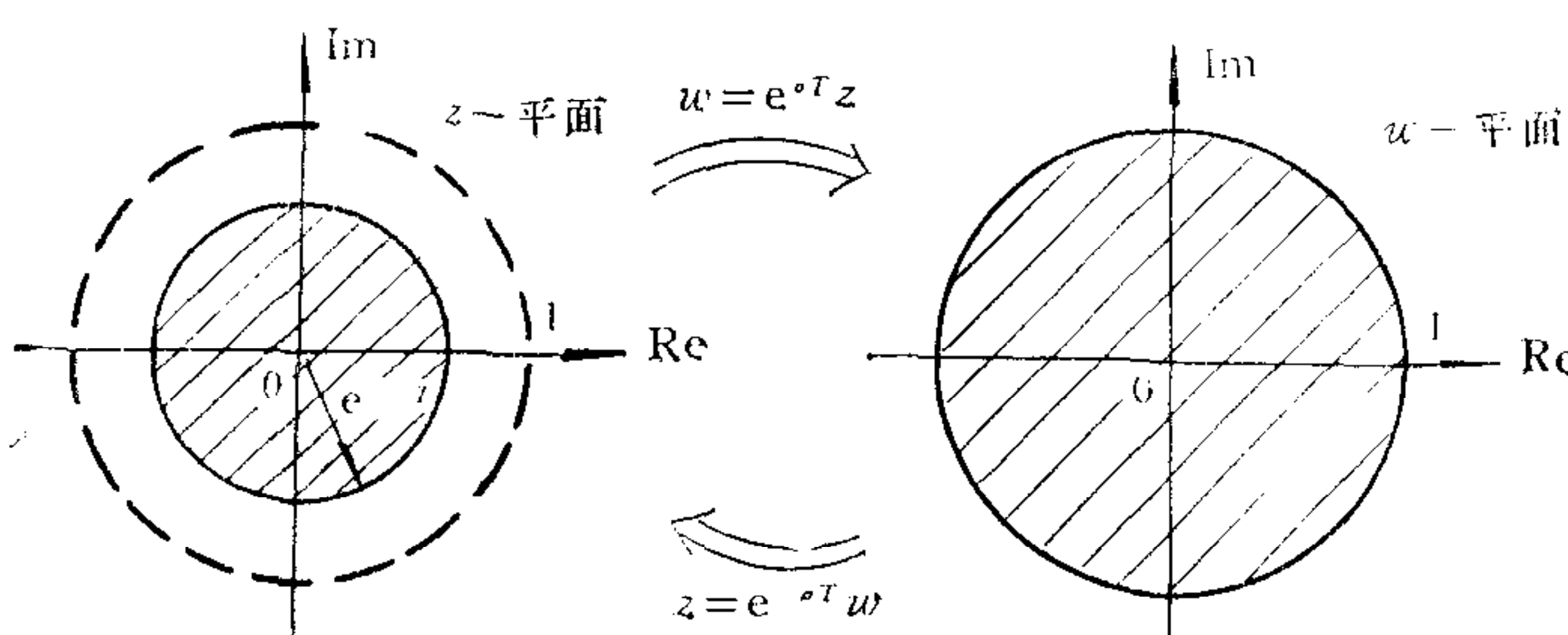


图 2 w 变换

反之，通过反 w 变换 $z = e^{-\sigma T} w$ ，则可以将 w 平面上单位圆域变换为 z 平面上半径

小于 1 的圆域。为简便计, 以下记 $e^{\sigma T} = \mu$, 即 w 变换为 $w = \mu z$, 反 w 变换为 $z = w/\mu$ 。

引理 3. 多项式 $A(z^{-1})$ 经 w 变换变为 $\hat{A}(w^{-1})$ 后, $A(z^{-1})$ 在 z 平面上的零点 z_i 变为 $\hat{A}(w^{-1})$ 在 w 平面上的零点 z_{wi} , 其间关系为

$$z_{wi} = \mu z_i, \quad (3.2)$$

反之可以类推。

引理 4. 设对象模型 $P(z^{-1})$ 经 w 变换变为 $\hat{P}(w^{-1})$ 后, 在 w 平面上设计的控制器为 $\hat{C}_o(w^{-1})$, 而 w 平面上从 r 到 y 的闭环传递函数为

$$\hat{G}(w^{-1}) = [1 + \hat{P}(w^{-1})\hat{C}_o(w^{-1})]^{-1} \cdot \hat{P}(w^{-1})\hat{C}_o(w^{-1}).$$

如果 $\hat{G}(w^{-1})$ 和 $\hat{C}_o(w^{-1})$ 经反 w 变换分别变为 $G(z^{-1})$ 和 $C_o(z^{-1})$, 那么 $G(z^{-1})$ 等于 z 平面上从 r 到 y 的闭环传递函数 $[1 + P(z^{-1})C_o(z^{-1})]^{-1}P(z^{-1})C_o(z^{-1})$ 。

3.2 具有预定闭环极点区域的 H^∞ 鲁棒控制器

半径小于 1 的圆域是一种简单而实用的预定极点区域。基于上述 w 变换, 便可利用引理 1 的结果设计闭环极点位于该区域的 H^∞ 鲁棒控制器。

设系统模型多项式 $A(z^{-1})$, $B(z^{-1})$ 与 $C_d(z^{-1})$ 经 $w = \mu z$ 变换变为 $\hat{A}(w^{-1})$, $\hat{B}(w^{-1})$ 与 $\hat{C}_d(w^{-1})$ 后, 引理 1 对系统模型的假设条件在 w 平面上仍成立, 即

$$\hat{P}(w^{-1}) = \hat{B}(w^{-1})/\hat{A}(w^{-1})$$

在 w 平面上没有“不稳定”潜模态(此即可相消零极点位于 w 平面单位圆内)。这一点要特别注意, 因为 $B(z^{-1})/A(z^{-1})$ 在 z 平面上稳定潜模态经 w 变换后有可能变为 w 平面上“不稳定”潜模态。

在上述假定条件下, 在 w 平面对系统模型 $\hat{A}(w^{-1})$, $\hat{B}(w^{-1})$ 与 $\hat{C}_d(w^{-1})$ 应用引理 1, 得到在 w 平面上使 $\hat{J}_\infty = \|\Phi_{\psi\psi}(w^{-1})\|_\infty$ 极小值的最优化控制器

$$\hat{C}_o(w^{-1}) = \hat{G}_o(w^{-1})/\hat{H}_o(w^{-1}), \quad (3.3)$$

而极小化指标

$$\hat{J}_\infty = \|\hat{V}(w^{-1})\|_\infty = \lambda^2, \quad (3.4)$$

式中

$$\hat{V} = (\hat{P}_c \hat{S} + \hat{F}_c \hat{U}) \hat{\Phi}_o (\hat{P}_c \hat{S} + \hat{F}_c \hat{U})^*, \quad (3.5)$$

其中 $\hat{\Phi}_o = (\hat{A}\hat{A}^*)^{-1}\hat{C}_d\hat{C}_d^*$, $\hat{S} = (1 + \hat{P}\hat{C}_o)^{-1}$; $\hat{U} = (1 + \hat{P}\hat{C}_o)^{-1}\hat{C}_o$ 。

对 $\hat{C}_o(w^{-1})$ 作反 w 变换后, 得 z 平面上控制器

$$C_o(z^{-1}) = G_o(z^{-1})/H_o(z^{-1}). \quad (3.6)$$

定理 1. 按上述过程设计的控制系统所有闭环极点位于 z 平面上 $|z| < \mu^{-1}$ 圆域内。

证明。由引理 1 知, w 平面上闭环特征方程为

$$\hat{G}_o(w^{-1})\hat{B}(w^{-1}) + \hat{H}_o(w^{-1})\hat{A}(w^{-1}) = \hat{L}_{ik}(w^{-1})\hat{D}_i(w^{-1})\hat{F}_{oi}(w^{-1}), \quad (3.7)$$

且上式所有零点位于 w 平面开单位圆内, 即 $|z_{wi}| < 1$, 对所有 i 。由引理 4, z 平面上闭环特征多项式为

$$G_o(z^{-1})B(z^{-1}) + H_o(z^{-1})A(z^{-1}), \quad (3.8)$$

它是 $\hat{G}_o(w^{-1})\hat{B}(w^{-1}) + \hat{H}_o(w^{-1})\hat{A}(w^{-1})$ 的反 w 变换。因此由引理 3 可知, 式(3.8)的

所有零点位于 z 平面上 $|z| < \mu^{-1}$ 圆域内。

证毕

3.3 自校正控制算法

基于上述 H^∞ 控制器，可以得到具有预定闭环极点区域的 H^∞ 鲁棒自校正控制算法。

由于改进的 H^∞ 鲁棒自校正控制可以使系统闭环极点配置在 z 平面预定区域，系统的动态响应性能便可得到保证。仿真结果^[5]也证明了这一点。

但是，改进的 H^∞ 鲁棒控制的 H^∞ 范数指标以及灵敏度、控制灵敏度等频域性质有什么变化，还需进一步探讨。

4 改进的 H^∞ 鲁棒控制的频域分析

4.1 w 变换下的 H^∞ 范数

定理 2. 如果 w 平面上传递函数 $\hat{T}(w^{-1}) \in H^\infty$ 经反 w 变换变为 $T(z^{-1})$ ，那么 z 平面上 $T(z^{-1}) \in H^\infty$ 。且有

$$\|T(z^{-1})\|_\infty \leq \|\hat{T}(w^{-1})\|_\infty. \quad (4.1)$$

这个定理表明，反 w 变换只能使 H^∞ 范数变小或不变，而不会使 H^∞ 范数增大。

证明。(1)如果 $\hat{T}(w^{-1}) \in H^\infty$ ，其极点必位于 w 平面开单位圆内。由引理 3，其反 w 变换 $T(z^{-1})$ 的极点必位于 z 平面上半径小于 1 的开圆域内，因而有 $T(z^{-1}) \in H^\infty$ 。

(2)由 H^∞ 范数的定义以及 w 变换关系，有

$$\|\hat{T}(w^{-1})\|_\infty = \sup_{|w|>1} |\hat{T}(w^{-1})| = \sup_{|\mu z|>1} |T(z^{-1})|. \quad (4.2)$$

又由于

$$\{z \in C \mid |\mu z| > 1\} \supset \{z \in C \mid |z| > 1\},$$

利用文[4]引理 3，便有

$$\sup_{|z|>1} |T(z^{-1})| \leq \sup_{|\mu z|>1} |T(z^{-1})| = \sup_{|w|>1} |\hat{T}(w^{-1})|, \quad (4.3)$$

这样就证明了式(4.1)。

证毕

利用定理 2，便可得到有关 H^∞ 范数指标等频域性质方面的结论。

定理 3. 改进的 H_∞ 鲁棒控制器设计过程中，反 w 变换后系统的 H_∞ 范数指标以及灵敏度、控制灵敏度的 H^∞ 范数均不大于反变换前的数值，即

$$\|V(z^{-1})\|_\infty \leq \|\hat{V}(w^{-1})\|_\infty = \lambda^2, \quad (4.4)$$

$$\|S(z^{-1})\|_\infty \leq \|\hat{S}(w^{-1})\|_\infty, \quad (4.5)$$

$$\|U(z^{-1})\|_\infty \leq \|\hat{U}(w^{-1})\|_\infty, \quad (4.6)$$

式中 $V(z^{-1})$, $S(z^{-1})$ 和 $U(z^{-1})$ 分别是 $\hat{V}(w^{-1})$, $\hat{S}(w^{-1})$ 和 $\hat{U}(w^{-1})$ 的反 w 变换。

式(4.4)给出了 z 平面上信号 $[\phi(t) = P_c(z^{-1})e(t) + F_c(z^{-1})u(t)]$ 的功率谱的 H^∞ 范数 $\|\Phi_{\phi\phi}(z^{-1})\|_\infty$ 的上界，而式(4.5), (4.6)分别给出了灵敏度与控制灵敏度 H^∞ 范数的上界。当然，实际上更关心的是灵敏度控制灵敏度是否各自在一定频段上足够小。为此，可适当选择权因子 $\hat{P}(w^{-1})$ 与 $\hat{F}(w^{-1})$ 使 $|S(z^{-1})|_{|z|=1}$ 与 $|U(z^{-1})|_{|z|=1}$ 各自有一定的频段足够小，从而使改进的 H^∞ 控制系统仍能达到所需的抗干扰能力与鲁棒稳定性。

性。

4.2 例子

设系统模型为

$$y(t) = \frac{(1 - 0.9z^{-1})z^{-1}}{(1 - 0.4z^{-1})(1 - 1.02z^{-1})} u(t) + \frac{1 - 1.02z^{-1}}{(1 - 0.4z^{-1})(1 - 1.02z^{-1})} \gamma \omega(t). \quad (4.7)$$

1) 如果利用引理 1 的设计方法, 选择 L_k 为 Hurwitz 且零点在 0.4 与 0.2 (此即期望的闭环极点在 0.4 与 0.2), 取 $P_{cd} = 1 - z^{-1}$, 那么得控制器

$$C_0(z^{-1}) = H_0^{-1}(z^{-1})G_0(z^{-1}) = \frac{7.1040 - 9.8116z^{-1} + 2.7880z^{-2}}{1 - 7.2644z^{-1} + 6.1500z^{-2}},$$

而极小指标

$$J_\infty = \|V(z^{-1})\|_\infty = 6.79^2 = 48.57,$$

闭环特征方程

$$G_0B + H_0A = (1 - 0.4z^{-1})(1 - 0.2z^{-1})(1 - 0.98z^{-1}),$$

其中闭环极点 0.98 紧靠 z 平面单位圆周。

2) 如果利用改进的设计方法, 选择期望闭环极点在 0.4 与 0.2, 取 $\hat{P}_{cd} = 1 - w^{-1}$, 又选择预定极点区域在 $|z| < 0.5$ (即 $\mu = 2$), 那么在 w 平面上得到

$$\begin{aligned} \hat{P}_c(w^{-1}) &= \frac{3.4167 - 2.7333w^{-1}}{1 - w^{-1}}, \quad \hat{F}_c(w^{-1}) = \frac{5.8333w^{-1}}{1 - w^{-1}}, \\ \hat{C}_0(w^{-1}) &= \frac{8.7118 - 13.9395w^{-1} + 5.5760w^{-2}}{1 - 16.2739w^{-1} + 12.3000w^{-2}}, \end{aligned}$$

$$\hat{J}_\infty = \|\hat{V}(w^{-1})\|_\infty = 6.79^2 = 48.57.$$

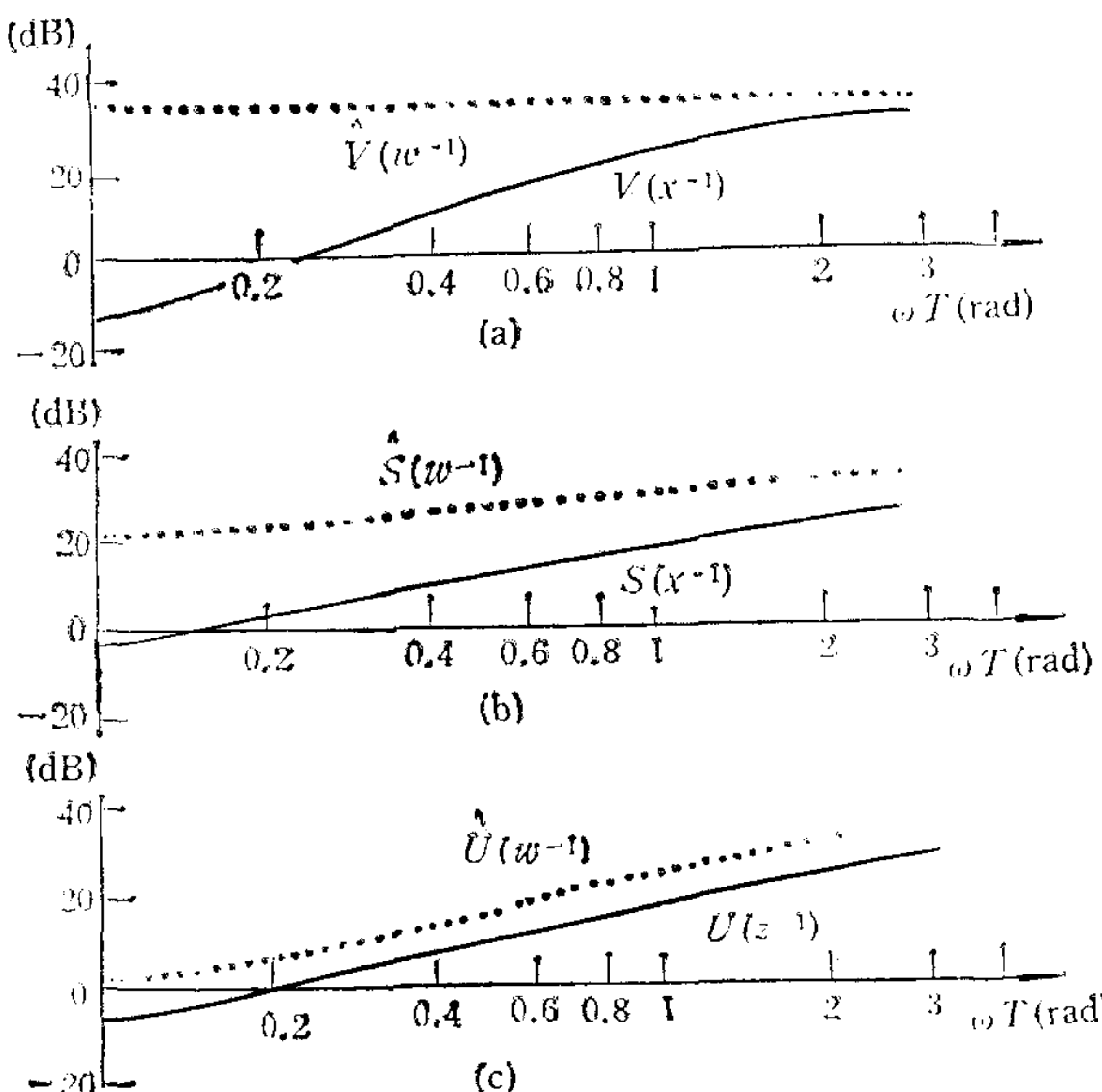


图 3 幅频特性图

注意这里极小 J_∞ 恰好等于情况(1)的极小 J_∞ 。可以证明，这是一个一般结论而非偶然。通过反 w 变换，得 z 平面上控制器

$$C_0(z^{-1}) = \frac{8.7118 - 6.9647z^{-1} + 1.3940z^{-2}}{1 - 8.1369z^{-1} + 3.0750z^{-2}},$$

而闭环特征多项式

$$G_0B + H_0A = (1 - 0.4z^{-1})(1 - 0.2z^{-1})(1 - 0.25z^{-1}),$$

可见所有闭环极点位于 $|z| < 0.5$ 圆域。

利用离散系统 Bode 图 CAD 程序，得到 $\hat{V}(w^{-1})$ 和 $V(z^{-1})$ 、 $\hat{S}(w^{-1})$ 和 $S(z^{-1})$ 以及 $\hat{U}(w^{-1})$ 和 $U(z^{-1})$ 的幅频特性，如图 3 所示。由图 3(a) 可见， $\hat{V}(w^{-1})$ 的幅频特性几乎是常数，且 $\|V(z^{-1})\|_\infty < \|\hat{V}(w^{-1})\|_\infty = 48.57$ 。图 3(b) 与图 3(c) 则证明了式(4.5)，(4.6) 的正确性。

注意到图 3 中的 ωT 的范围只取 $0.1-\pi(\text{rad})$ ，这是因为离散系统 Bode 图具有周期性与对称性所致。

5 结语

本文给出的一种改进的 H^∞ 鲁棒自校正控制方法，其频域分析表明，这种控制方法不但可以使所有闭环极点位于预定区域，从而保证系统具有良好的动态响应能力，而且可以保证 H^∞ 范数指标不致变大。通过适当选择权因子 $\hat{P}(w^{-1})$ 和 $\hat{F}(w^{-1})$ ，还能保证系统抗干扰性能与鲁棒稳定性满足要求。

但本法对于对象的条件略有加强；而且，如何选择权因子以得到所需灵敏度与控制灵敏度，还有待通过解析方法或 CAD 方法进一步研究。

致谢。 在本课题研究中，余勇生硕士与张宇舒学士做了不少有益工作，谨致谢意。

参 考 文 献

- [1] 袁著祉等。鲁棒自校正控制器的某些进展。控制理论与应用，1992，9(1): 2—8。
- [2] Grimble M J. H^∞ robust controller for self-tuning control applications. Part 1, Controller design. Int. J. Contr., 1987, 46(4): 1429—1444; Part 2, Self-tuning and robustness. Int. J. Contr., 46(5): 1819—1840; Part 3, Self-tuning controller implementation. Int. J. Contr., 1990, 52(1): 15—16.
- [3] 范玉顺，吴麒，王恩平。具有预期闭环极点区域的稳定控制器的 H^∞ 优化设计方法。自动化学报，1991，17(1): 10—15。
- [4] Saeki M. H^∞ control with pole assignment in a specified disc. Int. J. Contr., 1992, 56(3): 725—731.
- [5] 张汉全，余勇生。具有预定闭环极点区域的 H^∞ 鲁棒自校正控制。西南交通大学学报，1993, 92(4): 1—6。

AN IMPROVED SCHEME FOR H^∞ ROBUST SELF-TUNING CONTROL

ZHANG HANQUAN

(College of Computer, Southwest Jiaotong University Chengdu 610031)

ABSTRACT

In this paper, a problem of the H^∞ robust self-tuning control developed by Grimble is stated. Such a control cannot assign all closed-loop poles in expected region. To solve this problem, a method of the H^∞ robust self-tuning control with expected closedloop poles region is introduced, and the frequency-domain analysis of this improved H^∞ robust control is presented. An example is given for illustration.

Key words: H^∞ optimization theory, robust self-tuning control, expected poles region, frequency-domain analysis.



张汉全 1938年生于广西。1961年西安交通大学本科毕业，1981年西安交通大学研究生毕业。1987—1988年在美国 The University of Michigan 访问进修。现任西南交通大学自控教研室教授、副主任。当前研究领域：系统辨识，自适应控制，随机离散系统的 H^∞ 最优控制。